

## МОДЕЛИРОВАНИЕ НУТАЦИОННЫХ КОЛЕБАНИЙ ВИЗЛУЧЕНИИ, ОТРАЖЕННОМ РЕЗОНАНСНЫМ СЛОЕМ

*Предсказывается возможность модуляции излучения при отражении в режиме когерентного взаимодействия поля с веществом тонкого слоя.*

**Ключевые слова:** тонкий слой резонансных атомов, диполь-дипольное взаимодействие, самопульсации излучения.

*The possibility of light modulation upon reflection in the regime of coherent interaction of a optical field with a substance of thin boundary layer is predicted.*

**Keywords:** thin planar layer of resonant atoms, dipole-dipole interaction, self-sustained light pulsations.

К факторам, которые способны нарушить когерентность поля и поляризации и значительно усложнить динамику когерентных процессов, относят диполь-дипольное взаимодействие. Его проявление типично для вещества с высокой концентрацией активных центров и относительно большими дипольными моментами, присущими этим структурным элементам – так называемых плотных резонансных сред. Считается, что подобные материалы представлены также полупроводниковыми квантово-размерными гетероструктурами, резонансно реагирующими на излучение в экситонной области спектра [1]. Подобные структуры являются также удобной экспериментальной и теоретической моделью для изучения динамики когерентных эффектов [2]. На их основе в тонкопленочном исполнении разрабатываются нелинейные модулирующие элементы в компактных оптических устройствах обработки информации. Изучение особенностей динамики их реакции на излучение в когерентном режиме взаимодействия оптического поля и активной среды поэтому представляет нетривиальную и практически важную проблему.

### Расчетная модель

В этой связи поставлена задача моделирования динамики отражения резонансно поляризуемой плёнки в рамках полуклассического подхода с использованием приближения сверхтонкого слоя [3]. Нелинейный отклик среды описывается уравнениями квантовомеханической матрицы плотности, поле (отраженное  $E_r$ , прошедшее  $E$  и действующее на атомы) – соотношениями, полученными из электродинамических условий для полей и граничного слоя с резонансной поляризацией:

$$E_r = -r E_i + \frac{\mu N l}{\varepsilon_0(\eta+1) c} \frac{d\rho}{dt}, \quad E = \frac{2}{\eta+1} E_i + \frac{\mu N l}{\varepsilon_0(\eta+1) c} \frac{d\rho}{dt},$$

$$\frac{d^2\rho}{dt^2} + \frac{2}{T_2} \frac{d\rho}{dt} + \omega_0 \left( \omega_0 - \frac{2\mu^2 N}{3\varepsilon_0 \hbar} n \right) \rho = \frac{2\mu}{\hbar} \omega_0 n E, \quad \frac{dn}{dt} + \frac{1}{T_1} (n-1) = \frac{2\mu}{\hbar \omega_0} \frac{d\rho}{dt} \left( E + \frac{\mu N}{3\varepsilon_0} \rho \right). \quad (1)$$

Здесь  $E_i$  – напряженность приложенного поля,  $\rho$  и  $n$  – вероятностные переменные поляризованности и разности населенности,  $\mu$  – матричный элемент дипольного перехода,  $N$  – концентрация активных диполей,  $T_1$  и  $T_2$  – времена продольной и необратимой фазовой релаксации,  $\eta$  и  $l$  – показатель преломления и толщина слоя,  $r_0$  – коэффициент отражения слоя. Система (1) модифицирована с учетом вклада в действующее на активные центры поле ближних полей элементарных диполей. Отстройка частоты от резонанса  $\omega_0$  тогда зависит от разности населённости и в силу этого носит нелинейный характер. Модельные параметры среды выбраны для квантоворазмерных структур на основе *InGaAs*, следуя данным [4].

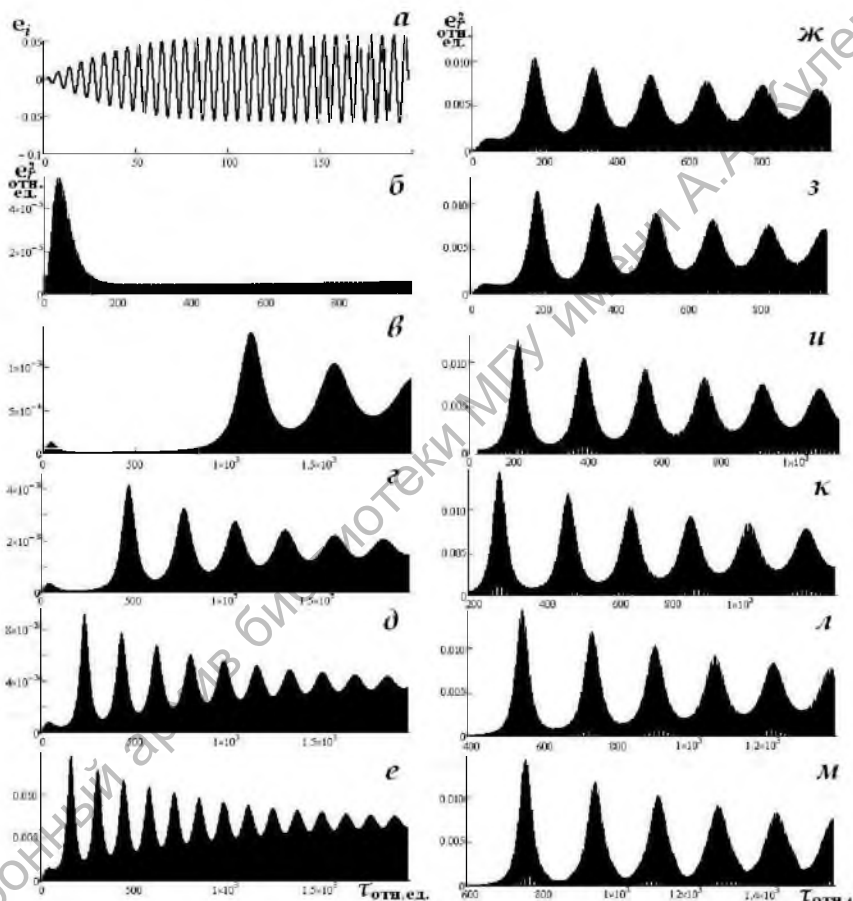
В случае квазинепрерывного светового поля, зондирующего резонансную пленку, отраженное поле излучения принимает выраженную нутационную структуру. Варианту квазинепрерывного сигнала воздействия соответствовало временное распределение огибающей напряженности приложенного поля, задаваемое зависимостью  $e^i(\tau) = e^i_0 (\exp(\tau/\Delta\tau) - \exp(-\tau/\Delta\tau)) / (\exp(\tau/\Delta\tau) + \exp(-\tau/\Delta\tau))$  (рис. 1 а), величиной  $\Delta\tau$  в этом случае определяется крутизна роста напряженности на начальном этапе воздействия.

На рисунке 1 для разного уровня возбуждения и ненасыщенного поглощения, рассчитываемого как  $\kappa = \mu^2 N l \omega_0 T_2 / \varepsilon_0 \hbar c$ , приведена временная картина интенсивности нормированного отраженного поля  $e_r = \mu E_r / \hbar \omega_0$ .

Судя по зависимостям, варианты расчета мощности отраженного сигнала представлены, в основном, серией нутационных пульсаций, огибающих высокочастотную несущую составляющую и затухающих к равновесному значению. Затухание пульсаций в схеме взаимодействия при относительно медленной необратимой фазовой релаксации обусловлено нарушением когерентности поля и поляризационного отклика среды вследствие смещения собственной частоты активных диполей из-за их взаимного влияния за счет ближних полей.

Возникновение субструктуры «стартовало» с некоторого значения мощности (рис. 1 б; 1 в). Нарастание приложенной мощности при прочих фиксированных параметрах приводило к сокращению переходного периода в выходе на режим пульсаций. При этом возрастала частота нутационных пульсаций, снижался их контраст (рис. 4 в - е). Эти закономерности временной картины в определенной мере аналогичны тому, как меняется с

увеличением уровня возбуждения (скорости накачки) структура излучения лазера в режиме свободной генерации. Увеличение показателя резонансного поглощения, однако, изменяет картину нутационных пульсаций в ином плане – нарастает контраст и скважность импульсов, при этом снижается частота их следования (рис. 1 *ж - м*).



**Рис. 1.** Временная зависимость нормированной интенсивности отраженного поля; *a* – форма зондирующего сигнала, *б* –  $e'_0 = 0.05$ ,  $\theta - e'_0 = 0.15$ , *в* –  $e'_0 = 0.25$ ,  $\theta - e'_0 = 0.5$ , *г* –  $e'_0 = 1.25$ ,  $\theta - e'_0 = 2$ ; *ж* –  $\kappa = 2.5$ , *з* –  $\kappa = 3.5$ , *и* –  $\kappa = 4$ , *к* –  $\kappa = 5$ , *л* –  $\kappa = 6$ , *м* –  $\kappa = 7$ , *н* –  $\kappa = 8$ , *о* –  $\kappa = 9$ ,  $e'_0 = 0.5$ ,  $\gamma = 0.0078$ ,  $\tau_2 = 400$ ,  $\omega_0 = 1.45 \cdot 10^{14} \text{ рад/с}$

Наличие двух противоположных тенденций развития картины при изменении этих основных характеристик, которые можно изменить в эксперименте, дает возможность того, что при определенном их сочетании возможен оптимальный вариант процесса, когда серия нутационных пульсаций будет представлена автоколебаниями мощности в отраженном излучении.

Для квазистационарных огибающих переменных напряженности поля и резонансной поляризованности система (1) сводится к оптическим уравнениям Блоха. Далее приведены результаты анализа равновесных состояний модели в рамках математической теории устойчивости.

### Анализ устойчивости аналога исходной модели

Исследование устойчивости квазиравновесных состояний исходной модели (1) проведено в рамках линейного анализа устойчивости квазистационарного аналога модели. Это означает рассмотрение динамической системы для относительно медленных огибающих поля и поляризованности, то есть использовано квазистационарное приближение модели [2]. Переход к этой приближенной осцилляторной системе тривиален – она формулируется для амплитуд и поля и поляризованности. Решением системы с большой степенью совпадения могут быть описаны закономерности процессов отражения, рассчитанные для вариантов рисунка 1. В принятой нормировке квазистационарные уравнения для амплитуд  $\rho(\tau)$ ,  $e'(\tau)$  и огибающей разности населенностей  $n(\tau)$  записываются в таком виде:

$$\frac{d\rho'}{dt} + \frac{1+\kappa n}{\tau_2} \rho' - i(\Delta + \gamma n)\rho' = ne'_i, \quad \frac{dn}{dt} + \frac{n-n_0}{\tau_1} = -\frac{1}{2} \left[ \rho'^* \left( e'_i - \frac{\kappa}{\tau_2} \rho' \right) + \rho' \left( e'_i - \frac{\kappa}{\tau_2} \rho'^* \right) \right].$$

Предполагается далее, что  $e'_i(\tau) = e_0$ ,  $n_0 = 1$ , амплитуда вероятности поляризованности может быть представлена как  $\rho = R + iS$ . Соответственно кинетическая система для этих переменных предстанет такой:

$$\begin{aligned} \frac{dR}{dt} &= ne_0 - \frac{1+\kappa n}{\tau_2} R - (\Delta + \gamma n)S, & \frac{dR}{dt} &= (\Delta + \gamma n)R - \frac{1+\kappa n}{\tau_2} S, \\ \frac{dn}{dt} &= \frac{1-n}{\tau_1} - e_0 R + \frac{\kappa}{\tau_2} (R^2 + S^2). \end{aligned} \quad (2)$$

Выражения для равновесных состояний  $R_s$ ,  $S_s$  и  $n_s$  системы (2) сложно определить из сингулярных пределов соответствующих уравнений

(удобным для последующих расчетов представлялось выражение для зависимости  $e_0^2$  от  $n_s$ ):

$$R_s = \frac{(\Delta + \gamma n_s) n_s}{Z \tau_2^2}, S_s = \frac{(\Delta + \gamma n_s) n_s}{Z \tau_2}, e_0^2 = \frac{1 - n_s}{\tau_1 n_s} \tau_2 Z, Z = \frac{(1 + \kappa n_s)^2}{\tau_2^2} + (\Delta + \gamma n_s)^2. \quad (3)$$

Из выражений (3) следует, что при определенных сочетаниях коэффициентов (2) стационарное значение  $n_s$  может определяться в зависимости от величины мощности  $e_0^2$  неоднозначно. Известно, что равновесные состояния моделей, описывающих излучение при его нелинейном резонансном взаимодействии с тонким поляризуемым слоем, бистабильны [5].

Несложно убедиться, что после отделения вещественного корня характеристическое уравнение для показателя  $\lambda$ , определяющего временную динамику решений для относительно малых вариаций переменных  $\Delta R$ ,  $\Delta S$  и  $\Delta n$  в окрестности (3) с множителем  $\exp(\lambda \tau)$ , представляется так:

$$\lambda^2 - \left[ A - B + \frac{2}{3} \left( 2M n_s + \frac{1}{\tau_1} \right) \right] \lambda + \left[ \frac{A - B}{2} + \frac{1}{3} \left( 2M n_s + \frac{1}{\tau_1} \right) \right]^2 + \frac{3}{4} (A + B)^2 = 0. \quad (4)$$

где

$$A = \left( C + \sqrt{C^2 + D^3} \right)^{\frac{1}{3}}, B = \left( -C + \sqrt{C^2 + D^3} \right)^{\frac{1}{3}}, C = \frac{1}{2} \left[ \gamma(mr - pu) - M(n_s)^2 - \frac{QM}{3} - \frac{2M^3}{27} \right],$$

$$D = \left( M^2/3 - Q \right)/3, \quad M = \frac{\kappa n_s}{\tau_2} - \frac{1}{\tau_1}, \quad Q = (pr - mu)e_0^2.$$

$$\text{Величины } p = 1 - \frac{n_s}{\tau_2 Z} \left[ \frac{\kappa}{\tau_2} \frac{1 + \kappa n_s}{\tau_2} + \gamma(\Delta + \gamma n_s) \right], \quad m = \frac{n_s}{\tau_2^2 Z} (\gamma + \kappa \Delta),$$

$$r = 1 - \frac{2\kappa n_s}{\tau_2^2 Z} \frac{1 + \kappa n_s}{\tau_2} \text{ и } u = \frac{\kappa n_s}{\tau_2^2 Z} (\Delta + \gamma n_s), \text{ входящие в (4), также выражаются}$$

через коэффициенты уравнений (2).

Комплексные корни уравнения (4) могут быть выражены в таком виде:

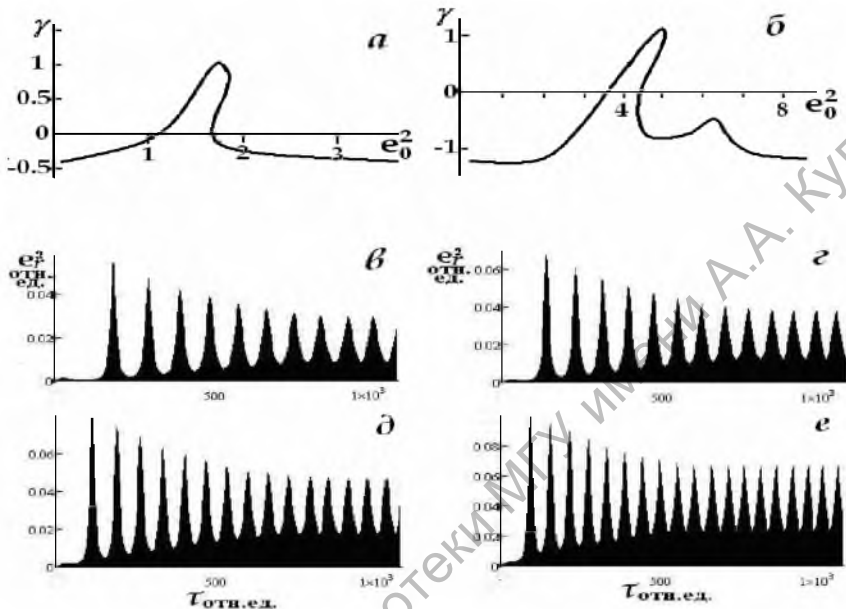
$$\lambda_{1,2} = \frac{1}{2} \left[ A - B + \frac{2}{3} \left( 2 \frac{\kappa n_s}{\tau_2} - \frac{1}{\tau_1} \right) \right] \pm i \frac{\sqrt{3}}{2} (A + B).$$

То есть в случае, если выполняется соотношение:

$$\gamma = A - B + \frac{2}{3} \left( 2 \frac{\kappa n_s}{\tau_2} - \frac{1}{\tau_1} \right) > 0, \quad (5)$$

аттрактором системы (2) может оказаться предельный цикл, частота ци-

кличного движения точки  $\Omega$  в фазовом пространстве по свертывающейся к предельному циклу фазовой кривой рассчитывается как  $\Omega = \sqrt{3}(A+B)/2$ .



**Рис. 2.** Зависимость действительной части корня характеристического уравнения от параметра возбуждения (*a, б*) и временная зависимость нормированной интенсивности самопulsаций в отраженном излучении (*в – e*);  
 $\kappa = 12.5, \varphi - \kappa = 15.0$  (*a, в*);  $\kappa = 16.0$  (*б, д*);  $\kappa = 18.5$  (*e*);  
 $e_0^2 = 1.5, \gamma = 0.08, \tau_2 = 500, \omega_0 = 1.45 \cdot 10^{14} \text{ рад/с}$

Расчетные оценки условий существования автоколебательного режима нутационной неустойчивости переменных на основе (3), (4), (5) удобнее проводить параметрически, то есть полагая  $n_i$  линейно нарастающим в пределах (0,1) параметром (рис. 2 *a, б*). Следует отметить, что кривые зависимостей  $\gamma(e_0^2)$  бистабильны, что, вообще, характеризует возможность перехода осцилляторной системы в режим автоколебаний. Варианты расчета зависимости  $e_0^2(\tau)$  на рисунке 2 *в–e* получены для параметров (1), примерно соответствующих условию (6) неустойчивости равновесного состояния.

Очевидно, что нутационные колебания могут обусловить периодическую картину интенсивности в излучении, отраженном тонким слоем полупроводниковой структуры с квантоворазмерными эффектами, выше моделируемой резонансной средой. Эффект может быть учтен при разра-

ботке оптимальных схем лазеров, излучающих в режиме серии регулярных импульсов без управляемых извне модулирующих устройств.

### **Литература:**

1. Kaplan, A.E. Nanoscale stratification of optical excitation in self-interacting one-dimensional arrays / A.E. Kaplan, S.N. Volkov // Phys. Rev. – 2009. – Vol. A79. – P. 053834-1–053834-16.
2. Захаров, С.М. Взаимодействие УКИ света с тонкопленочными резонаторными структурами / С.М. Захаров // ЖЭТФ. – 1998. – Т. 114. – С. 1578–1594.
3. Рупасов, В.И. О граничных задачах в нелинейной оптике резонансных сред / В.И. Рупасов, В.И. Юдсон // Квант. электрон. – 1982. – Т. 9, № 11. – С. 2179–2186.
4. Rabi oscillations in the excitonic ground-state transition of InGaAs quantum dots / P. Borri [et al.] // Phys. Rev. B. – 2002. – Vol. 66. – P. 081306–(1-4).
5. Yurevich, V.A. Resonant reflection by active thin layer / V.A. Yurevich, E.V. Timoschenko, Yu.V. Yurevich // Журн. прикл. спектр. – 2016. – Т. 83, вып. 6–16. – С. 307–308.